

ГРАВИТАЦИОННОЕ ПОЛЕ ТОЧЕЧНОГО ЗАРЯДА И КОНЕЧНОСТЬ СОБСТВЕННОЙ ЭНЕРГИИ

М. Б. Голубев^a, С. Р. Кельнер^{b}*

^aРоссийский федеральный ядерный центр ВНИИЭФ
607195, Саров, Россия

^bМосковский инженерно-физический институт (Государственный университет)
115409, Москва, Россия

Поступила в редакцию 20 июля 2005 г.

Сингулярности в метрике классических решений уравнений Эйнштейна (решения Шварцшильда, Керра, Райсснера – Нордстрёма и Керра – Ньюмена) приводят к появлению в тензоре Эйнштейна обобщенных функций. Для исследования этих функций, которые могут иметь более сложный по сравнению с δ -функцией Дирака характер, использован прием, основанный на предельной последовательности решений. Показано, что решения будут удовлетворять уравнениям Эйнштейна всюду, если тензор энергии – импульса имеет соответствующую сингулярную добавку не электромагнитного происхождения. При учете этой добавки полная энергия оказывается конечной и равной mc^2 , а для решений Керра и Керра – Ньюмена угловой момент — mca . Поскольку решения Райсснера – Нордстрёма и Керра – Ньюмена соответствуют точечному заряду в классической электродинамике, полученный результат позволяет по-новому взглянуть на проблему расходимости собственной энергии точечного заряда.

PACS: 04.20.-q, 04.20.Cv

1. ВВЕДЕНИЕ

Одним из основных принципов ОТО является равенство инертной и гравитационной масс. Однако классические решения уравнений Эйнштейна (решения Шварцшильда, Керра, Райсснера – Нордстрёма и Керра – Ньюмена) на первый взгляд не удовлетворяют этому принципу. Для решений Шварцшильда и Керра тензор энергии – импульса, а следовательно и собственная энергия равны нулю, для решений Райсснера – Нордстрёма и Керра – Ньюмена собственная энергия бесконечна, в то время как гравитационная масса конечна для всех этих решений.

Причиной этого несоответствия может быть то, что перечисленные решения удовлетворяют уравнениям Эйнштейна не во всем пространстве. Общим свойством решений является наличие в метрике сингулярностей вида $1/r$, $1/r^2$. Этот факт наводит на мысль, что тензор Эйнштейна, зависящий от вторых производных метрики, может содержать обобщенные функции, которые теряются при прямом диф-

ференцировании¹⁾ и поэтому не учитываются в тензоре энергии – импульса. Ранее этот вопрос был исследован для упомянутых выше решений в представлении Керра – Шилда в работах [1, 2]. В этих работах показано, что тензор Эйнштейна действительно содержит обобщенные функции, которые могут иметь более сложный, по сравнению с δ -функцией Дирака, характер.

Собственную энергию и момент можно определить инвариантным образом. Мы дополнili исследования [1, 2] рассмотрением некоторых других представлений решений, а также вычислили полную собственную энергию и угловой момент. Сингулярные добавки к тензору энергии – импульса приводят к конечности значений энергии и момента. Вопрос о возможных физических причинах конечности собственной энергии в ОТО также рассматривался в работе [3].

¹⁾ Например, в электростатике для потенциала точечного заряда имеем $\Delta\varphi = -4\pi\epsilon_0(r)$, в то время как непосредственное дифференцирование дает $\frac{1}{r^2} \frac{\partial}{\partial r} \left(r^2 \frac{\partial\varphi}{\partial r} \right) = 0$.

*E-mail: skelner@rambler.ru

2. АНАЛОГИЯ С ЭЛЕКТРОСТАТИКОЙ

Метод, позволяющий определить, появляется ли обобщенная функция при дифференцировании сингулярной функции, проще всего пояснить на примере электростатики. Потенциал точечного заряда

$$\varphi = \frac{e}{r} \quad (1)$$

удовлетворяет уравнению Пуассона

$$\Delta\varphi = -4\pi\rho, \quad (2)$$

где $\rho = e\delta(\mathbf{r})$. Один из способов убедиться в этом состоит в следующем. Заменим потенциал (1) несингулярной функцией вида

$$\tilde{\varphi} = \frac{e}{r} \theta(r - r_0) + \left(\frac{3e}{2r_0} - \frac{er^2}{2r_0^3} \right) \theta(r_0 - r), \quad (3)$$

где $\theta(x)$ — функция Хэвисайда ($\theta(x) = 1$ при $x > 0$ и $\theta(x) = 0$ при $x < 0$). Подставив этот потенциал в (2), находим, что $\tilde{\varphi}$ будет решением уравнения Пуассона для плотности заряда

$$\rho = -\frac{\Delta\tilde{\varphi}}{4\pi} = \frac{3e}{4\pi r_0^3} \theta(r_0 - r). \quad (4)$$

Интеграл по объему от (4) не зависит от r_0 и равен e . Если перейти к пределу $r_0 \rightarrow 0$, то

$$\tilde{\varphi} \rightarrow e/r, \quad \rho \rightarrow e\delta(\mathbf{r}),$$

т. е. предел решения (3) отвечает наличию в начале координат точечного источника с зарядом e и является решением уравнения (2). Легко показать, что данный результат не зависит от выбора потенциала в области $r < r_0$, причем не обязательно гладкое поведение потенциала в точке $r = r_0$. Результат всегда один: в пределе $r_0 \rightarrow 0$ потенциал $\varphi = e/r$, а плотность заряда $\rho = e\delta(\mathbf{r})$.

В классической электродинамике обычно применяется более простой по сравнению с изложенным метод описания точечных источников, а именно, используется преобразование Фурье. Эффективность этого метода в электродинамике обусловлена линейностью уравнений Максвелла. В случае же общей теории относительности уравнения нелинейны и, по-видимому, наиболее простой подход к исследованию точечных объектов состоит в описанной выше процедуре сглаживания решений. Ниже мы применяем эту процедуру к классическим решениям уравнений Эйнштейна.

3. СОБСТВЕННАЯ ЭНЕРГИЯ

Что понимать под собственной энергией в ОТО — вопрос нетривиальный. Обычно этот вопрос решается с помощью псевдотензора энергии–импульса (см., например, [4] и цитируемую там литературу). Недостаток такого подхода заключается в том, что определение собственной энергии системы привязано к специальной (декартовой) системе координат и не инвариантно относительно преобразований координат. Псевдотензор энергии–импульса позволяет приписать плотность энергии гравитационному полю, которую, однако, не удается локализовать.

Можно определить собственную энергию, используя тензор энергии–импульса только полей и вещества. Для стационарных или статических решений существует вектор Киллинга $\xi = \partial/\partial t$, который порождает сохраняющийся ток

$$J^i = T_k^i \xi^k, \quad (5)$$

где T_k^i — тензор энергии–импульса, $\xi^k = (1, 0, 0, 0)$ — контравариантные компоненты вектора ξ [5]. Поскольку $\nabla_i J^i = 0$, выполняется закон сохранения

$$\frac{d}{dt} \int d^3x \sqrt{-g} J^0 = - \int dS_\alpha \sqrt{-g} J_0^\alpha. \quad (6)$$

Если определить плотность энергии как нулевую компоненту этого тока, то полная энергия

$$E = \int d^3x \sqrt{-g} J^0 = \int d^3x \sqrt{-g} T_k^0 \xi^k \quad (7)$$

не будет зависеть от используемых координат.

4. МЕТРИКА РЕЙССНЕРА – НОРДСТРЁМА

Решение Рейсснера–Нордстрёма [6] в декартовых координатах можно представить в виде

$$ds^2 = \Phi dt^2 - \left(\frac{1}{\Phi} - 1 \right) (\mathbf{n} d\mathbf{x})^2 - d\mathbf{x}^2, \quad (8)$$

где

$$\Phi = \frac{r^2 - 2mr + Q^2}{r^2}$$

(m и Q — масса и заряд соответственно²⁾), $\mathbf{n} = \mathbf{x}/r$. Это решение удовлетворяет уравнениям Эйнштейна

$$G^{ik} = 8\pi T^{ik}, \quad (9)$$

²⁾ Используются единицы, в которых гравитационная постоянная и скорость света равны 1.

где

$$T^{ik} = \frac{1}{4\pi} \left(F^i{}_l F^{lk} + \frac{1}{4} g^{ik} F_{lm} F^{lm} \right)$$

— тензор энергии–импульса электромагнитного поля, всюду, кроме точки $r = 0$, в которой решение сингулярно. Выяснить структуру особенности тензора G^{ik} и характер возникающей обобщенной функции можно с помощью процедуры, аналогичной описанной в разд. 2.

Рассмотрим метрику вида (8), заменив в ней Φ следующей непрерывной функцией:

$$\tilde{\Phi} = \frac{1}{r^2} (r^2 - 2mr + Q^2) \theta(r - r_0) + \\ + \frac{1}{r_0^2} (r_0^2 - 2mr_0 + Q^2) \theta(r_0 - r). \quad (10)$$

При этом метрика становится несингулярной и в пределе $r_0 \rightarrow 0$ переходит в метрику (8). Отметим, что требование непрерывности метрики необходимо, поскольку первые производные метрического тензора входят в уравнения Эйнштейна нелинейно. Если допустить разрывы функций g_{ik} , то в уравнениях появятся квадраты δ -функций. Вторые же производные входят линейно, поэтому можно допустить разрыв первых производных, если понимать последующее дифференцирование в смысле обобщенных функций.

Тензор энергии–импульса, соответствующий слаженной метрике, может быть получен из уравнений Эйнштейна. Приведем $(0,0)$ -компоненту этого тензора:

$$T_0^0 = \frac{1}{8\pi} G_0^0 = \frac{Q^2}{8\pi r^4} \theta(r - r_0) + \\ + \left(\frac{m}{4\pi r^2 r_0} - \frac{Q^2}{8\pi r^2 r_0^2} \right) \theta(r_0 - r). \quad (11)$$

Первое слагаемое в правой части — плотность энергии электростатического поля в области $r > r_0$. Второе слагаемое, возникшее в результате слаживания метрики, не исчезает в пределе $r_0 \rightarrow 0$. Собственная энергия построенного решения равна

$$E = \frac{Q^2}{2r_0} + \left(m - \frac{Q^2}{2r_0} \right) = m. \quad (12)$$

Можно показать, что результат (12) не зависит от способа слаживания метрики. В пределе $r_0 \rightarrow 0$ формулу (11) можно записать в виде

$$T_0^0 = m \delta(\mathbf{r}) + \frac{1}{2} Q^2 \varpi(\mathbf{r}). \quad (13)$$

Здесь $\varpi(\mathbf{r})$ — обобщенная функция, определяемая следующим правилом интегрирования:

$$\int f(\mathbf{r}) \varpi(\mathbf{r}) d^3x = \int \frac{f(\mathbf{r}) - f(0)}{4\pi r^4} d^3x, \quad (14)$$

где $f(\mathbf{r})$ — ограниченная гладкая функция. Предельное выражение (13) также не зависит от способа сглаживания метрики. Фурье-образ функции $\varpi(\mathbf{r})$

$$\tilde{\varpi}(\mathbf{k}) \equiv \int \varpi(\mathbf{r}) e^{-i\mathbf{k}\cdot\mathbf{r}} d^3x = -\frac{\pi}{4} |\mathbf{k}|. \quad (15)$$

Функция

$$\varpi(\mathbf{r}) = \frac{1}{4\pi r^4}$$

всюду, кроме точки $\mathbf{x} = 0$, поэтому величина $(1/2)Q^2\varpi(\mathbf{r})$ в выражении (13) описывает плотность энергии электростатического поля. Особенность в начале координат приводит к тому, что $\tilde{\varpi}(\mathbf{k} = 0) = 0$, т. е. интеграл от $\varpi(\mathbf{r})$ по всему пространству равен нулю. Это означает, что расходимость энергии электростатического поля компенсируется бесконечной отрицательной энергией в центре.

Остальные компоненты тензора энергии–импульса в пределе $r_0 \rightarrow 0$ имеют вид

$$T_\alpha^0 = 0, \quad (16)$$

$$T_\beta^\alpha = \frac{1}{2} [m (3n_\alpha n_\beta - \delta_{\alpha\beta}) \delta(\mathbf{r}) + \\ + Q^2 (2n_\alpha n_\beta - \delta_{\alpha\beta}) \varpi(\mathbf{r})]. \quad (17)$$

Фурье-образ пространственных компонент тензора энергии–импульса имеет вид

$$\tilde{T}_\beta^\alpha = \frac{\pi Q^2 k}{16} \left(\delta_{\alpha\beta} - \frac{k_\alpha k_\beta}{k^2} \right). \quad (18)$$

В случае метрики Шварцшильда ($Q = 0$ в (8)) слагаемое $m\delta(\mathbf{r})$ в T_k^i , соответствующее точечному источнику, можно получить непосредственно, если учесть наличие члена $\Delta(1/r)$ в G_k^i . Более сложная обобщенная функция $\varpi(\mathbf{r})$ возникает в качестве источника в случае $Q \neq 0$. Своим происхождением она обязана тому, что в G_k^i входит величина $\Delta(1/r^2)$.

Таким образом, решения Шварцшильда и Рейсснера–Нордстрёма можно распространить на все пространство, если добавить точечный источник в тензор энергии–импульса. Это утверждение можно отнести как к точечному заряду, так и к черной дыре, поскольку нигде не использовалось соотношение между зарядом и массой.

В обычных единицах формула (13) записывается в виде

$$T_0^0 = mc^2 \delta(\mathbf{r}) + \frac{1}{2} Q^2 \varpi(\mathbf{r}), \quad (19)$$

где $\varpi(\mathbf{r})$ определено в (14). Отметим, что гравитационная постоянная не входит в это выражение. Легко проверить, что предельные формулы (16)–(18) для тензора энергии–импульса также не зависят от гравитационной постоянной. Поэтому полученные результаты справедливы и в случае плоского пространства–времени. Таким образом, общая теория относительности позволяет найти тензор энергии–импульса покоящегося (или равномерно движущегося) точечного заряда в классической электродинамике. Полная энергия заряда при этом оказывается конечной величиной.

5. МЕТРИКА КЕРРА–НЬЮМЕНА

Применим ту же процедуру для исследования структуры сингулярности в метрике Керра–Ньюмена [7]:

$$ds^2 = \eta_{ik} dx^i dx^k + \\ + \Psi \left(dt - \frac{(r^2 x_\alpha + r[\mathbf{x} \times \mathbf{a}]_\alpha + a_\alpha (\mathbf{a} \cdot \mathbf{x})) dx^\alpha}{r(r^2 + a^2)} \right)^2. \quad (20)$$

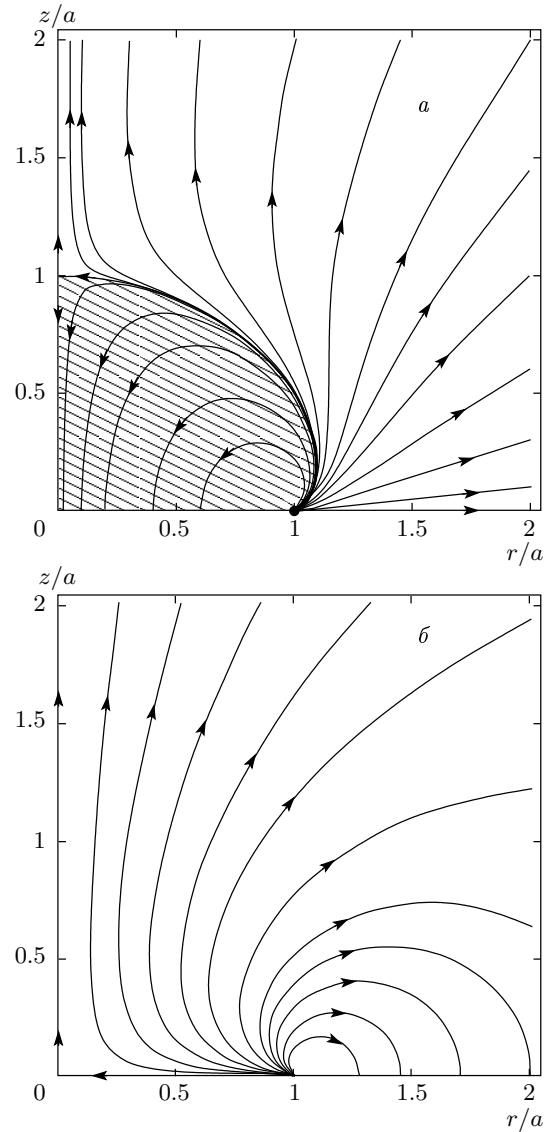
Здесь

$$\Psi = \frac{Q^2 - 2m r}{r^2 + \frac{(\mathbf{a} \cdot \mathbf{x})^2}{r^2}}, \quad (21)$$

где \mathbf{a} — пространственный вектор, a — его модуль, r определяется уравнением

$$r^4 - r^2(\mathbf{x}^2 - a^2) - (\mathbf{a} \cdot \mathbf{x})^2 = 0. \quad (22)$$

Легко показать, что это обычное представление Керра–Шилда, если вектор \mathbf{a} направить вдоль оси z . Поверхности постоянного r представляют собой эллипсоиды вращения, ось которых совпадает с направлением вектора \mathbf{a} . При $r = 0$ эллипсоид вырождается в диск радиуса a . На этом диске метрика непрерывна, но компоненты метрики и 4-потенциала поля имеют излом, а напряженности электромагнитного поля — разрыв (см. рисунок). Это означает, что на диске имеется сингулярное распределение массы, заряда и токов, которое не находит отражения в тензоре энергии–импульса электромагнитного поля.



Силовые линии электрического (а) и магнитного (б) полей для решения Керра–Ньюмена. Штриховкой выделена область замкнутых силовых линий электрического поля

Построим решение, аналогичное решению (10). Для этого в (20) заменим Ψ функцией

$$\tilde{\Psi} = \frac{Q^2 - 2m r}{r^2 + \frac{(\mathbf{a} \cdot \mathbf{x})^2}{r^2}} \theta(r - r_0) + \\ + \frac{Q^2 - 2m r_0}{r_0^2 + \frac{(\mathbf{a} \cdot \mathbf{x})^2}{r_0^2}} \theta(r_0 - r). \quad (23)$$

Построенное решение всюду непрерывно, но имеет разрыв производной при $r = r_0$. Чтобы удовлетво-

рить уравнениям Эйнштейна, $(0,0)$ -компоненты тензора энергии–импульса должны иметь следующий вид:

$$\begin{aligned} T_0^0 &= \frac{1}{8\pi} G_0^0 = \frac{Q^2}{4\pi} \left(\frac{a^2}{\rho^3} - \frac{r^2}{\rho^3} - \frac{1}{2\rho^2} \right) \theta(r - r_0) + \\ &\quad + \frac{r_0^2 (2M r_0 - Q^2) (r_0^4 - 3(\mathbf{a} \cdot \mathbf{x})^2)}{8\pi r^2 (r^4 + (\mathbf{a} \cdot \mathbf{x})^2)} \times \\ &\quad \times \frac{(r^4 r_0^4 - (\mathbf{a} \cdot \mathbf{x})^4 + r^6 a^2 + r^2 (\mathbf{a} \cdot \mathbf{x})^2 a^2)}{(r_0^4 + (\mathbf{a} \cdot \mathbf{x})^2)^3} \theta(r_0 - r) + \\ &\quad + \frac{r_0 (M r_0 (r_0^4 - 3(\mathbf{a} \cdot \mathbf{x})^2) - Q^2 (r_0^4 - (\mathbf{a} \cdot \mathbf{x})^2))}{8\pi (r_0^4 + (\mathbf{a} \cdot \mathbf{x})^2)^3} \times \\ &\quad \times (r_0^2 a^2 - (\mathbf{a} \cdot \mathbf{x})^2) \delta(r - r_0), \quad (24) \end{aligned}$$

где

$$\rho = r^2 + (\mathbf{a} \cdot \mathbf{x})^2 / r^2.$$

Вклад в собственную энергию каждой из трех частей T_0^0 при $r_0 \rightarrow 0$ представляет собой расходящиеся величины, однако в сумме расходимости удивительным образом компенсируются:

$$\begin{aligned} E &= \frac{Q^2}{4r_0} + \frac{Q^2 (r_0^2 + a^2) \lambda}{4r_0^2 a} + \\ &\quad + (2m r_0 - Q^2) \left(\frac{(5r_0^2 + a^2) \lambda}{4r_0^2 a} - \frac{3}{4r_0} \right) - \\ &\quad - \frac{2Q^2 - 5m r_0}{2r_0} + \frac{(2Q^2 r_0 - m(5r_0^2 + a^2)) \lambda}{2r_0 a} = m, \quad (25) \end{aligned}$$

где

$$\lambda = \operatorname{arctg} \left(\frac{a}{r_0} \right).$$

Первая, вторая и третья строки в этой формуле — вклады областей $r > r_0$, $r < r_0$ и поверхности $r = r_0$, соответственно. Вклад каждой из областей зависит от способа сглаживания метрики. Например, если выбрать функции g_{ik} так, чтобы в точке r_0 производные $\partial g_{ik} / \partial r$ были непрерывны, то в выражении (24) исчезнет слагаемое с δ -функцией. Однако полная энергия E , как и в случае метрики Рейсснера–Нордстрёма, не зависит от способа сглаживания метрики (см. Приложение). Полученный результат распространяется и на метрику Керра (достаточно в выражениях (20)–(25) положить $Q = 0$).

Тензор энергии–импульса позволяет также найти полный момент системы. Вследствие азимутальной симметрии существует вектор Киллинга $\eta = \partial / \partial \varphi$, который позволяет ввести сохраняющийся ток

$$I^i = -T_k^i \eta^k, \quad \nabla_i I^i = 0. \quad (26)$$

Полный момент определяется равенством

$$M = \int d^3x \sqrt{-g} I^0 = \int d^3x \sqrt{-g} T_k^0 \eta^k. \quad (27)$$

Вклады в интеграл (27) областей $r > r_0$, $r < r_0$ и поверхности $r = r_0$ в пределе $r_0 \rightarrow 0$ расходятся, но эти расходимости компенсируются, и полный момент, независимо от способа сглаживания метрики, оказывается конечной величиной:

$$\begin{aligned} M &= \frac{Q^2}{4} \left(\lambda \left(\frac{a}{r_0} + \frac{r_0}{a} \right)^2 - \frac{r_0}{a} + \frac{a}{r_0} \right) + \\ &\quad + (2mr_0 - Q^2) \left(\lambda \left(\frac{3}{2} + \frac{5r_0^2}{4a^2} + \frac{a^2}{4r_0^2} \right) - \frac{5r_0}{4a} - \frac{3a}{4r_0} \right) - \\ &\quad - (a^2 + r_0^2) \left(\lambda \left(\frac{m}{2r_0} + \frac{5mr_0 - 2Q^2}{2a^2} \right) + \frac{Q^2}{ar_0} - \frac{5m}{2a} \right) = \\ &\quad = m a. \quad (28) \end{aligned}$$

При вычислениях, проделанных в этой работе, использовалась программа Mathematica 5, Wolfram Research, Inc.

6. ЗАКЛЮЧЕНИЕ

Как показано в работе, для того чтобы решения Шварцшильда, Керра, Рейсснера–Нордстрёма и Керра–Ньютона удовлетворяли уравнениям Эйнштейна во всем пространстве, включая $r = 0$, необходимо добавить в тензор энергии–импульса сингулярные слагаемые, содержащие обобщенные функции. При этом полная энергия для всех решений оказывается конечной и равной mc^2 . Для решений с ненулевым зарядом эта добавка играет роль натяжений Пуанкаре, т. е. в центре расположена бесконечная отрицательная масса, которая компенсирует электростатическую энергию заряда. Появление отрицательной массы при регуляризации метрики отмечалось также в [8].

На существование отрицательной массы для решений с ненулевым зарядом указывает также и тот факт, что для пробных частиц гравитационное притяжение переходит в отталкивание уже на классическом радиусе Q^2/mc^2 . В этом можно убедиться, проанализировав уравнения движения пробных частиц.

Из полученных результатов следует, что невозможно построить самосогласованную классическую модель электрона без привлечения дополнительных полей (или материи) с необычными свойствами. Эти поля должны давать отрицательный вклад в энергию.

Работа выполнена при финансовой поддержке Международного научно-технического центра (МНТЦ) (грант № 1655).

ПРИЛОЖЕНИЕ

Сглаженные решения и соответствующая им полная энергия исследовались в ряде работ (см., например, работу [8] и цитируемую в ней литературу). В данном Приложении мы покажем, что используемое нами определение E (формула (7)) дает результат, не только инвариантный относительно преобразований координат, но и не зависящий от способа сглаживания метрики в важном частном случае, когда при сглаживании сохраняется керровская структура (20) метрики.

Коммутатор ковариантных производных (см., например, [9]) имеет вид

$$(\nabla_k \nabla_l - \nabla_l \nabla_k) \xi_i = \xi^m R_{mikl}, \quad (29)$$

где R_{mikl} — тензор Римана. Умножая на g^{ik} , получаем в правой части тензор Риччи:

$$\nabla_i \nabla_l \xi^i - \nabla_l \nabla_i \xi^i = -\xi^m R_{ml}. \quad (30)$$

В этой формуле ξ^i — произвольный вектор. Пусть теперь ξ^i — вектор Киллинга. Тогда второе слагаемое в (30) обращается в нуль и получается соотношение

$$\nabla_i \xi^{i;k} = -R^{kl} \xi_l. \quad (31)$$

Поскольку $\xi^{i;k}$ — антисимметричный тензор, имеем

$$\nabla_i \nabla_k \xi^{i;k} = \frac{1}{\sqrt{-g}} \frac{\partial^2}{\partial x^i \partial x^k} \xi^{i;k} = 0 \quad (32)$$

и приходим к равенству

$$\nabla_k (R^{kl} \xi_l) = 0. \quad (33)$$

Оказывается, что не только $T^{kl} \xi_l$, но и вектор $R^{kl} \xi_l$ также сохраняется. Отсюда следует справедливость равенства

$$\nabla_k (R \xi^k) = \xi^k \frac{\partial R}{\partial x^k} = 0, \quad (34)$$

где R — скалярная кривизна. Последнее выражение, впрочем, очевидно, поскольку вектор Киллинга — это генератор преобразований, не изменяющих метрику.

Из равенства (31), записанного в виде

$$R^{kl} \xi_l = \frac{1}{\sqrt{-g}} \frac{\partial}{\partial x^i} (\sqrt{-g} \xi^{i;k}), \quad (35)$$

следует, что величина

$$\int d^3x \sqrt{-g} R^{kl} \xi_l = \oint dS_i \sqrt{-g} \xi^{i;k} \quad (36)$$

и, таким образом, не зависит от способа сглаживания метрики в области $r < r_0$.

Для метрики вида (20) с произвольной функцией $\Psi(r, \theta)$ скалярная кривизна равна

$$R = -\frac{\sin \theta}{\sqrt{-g}} \frac{\partial^2}{\partial r^2} [(r^2 + a^2 \cos^2 \theta) \Psi(r, \theta)]. \quad (37)$$

Эта формула проверяется прямым, но весьма громоздким вычислением. Поэтому входящий в полную энергию интеграл от скалярной кривизны

$$\begin{aligned} -\frac{1}{2} \int R \sqrt{-g} dr d\theta d\varphi &= \frac{1}{2} \times \\ &\times \int \frac{\partial^2}{\partial r^2} [(r^2 + a^2 \cos^2 \theta) \Psi(r, \theta)] dr \sin \theta d\theta d\varphi \end{aligned} \quad (38)$$

не зависит от поведения функции $\Psi(r, \theta)$ в области $r < r_0$. Другими словами, величина (38) также не зависит от способа сглаживания метрики в области $r < r_0$. Надо лишь потребовать, чтобы выполнялось равенство

$$\left. \frac{\partial \Psi(r, \theta)}{\partial r} \right|_{r=0} = 0.$$

Из выражений (36), (38) следует, что скалярная величина

$$\int \left(R_k^0 - \frac{1}{2} g_k^0 R \right) \xi^k \sqrt{-g} d^3x, \quad (39)$$

пропорциональная собственной энергии (7), не чувствительна к способу сглаживания метрики.

Аналогичным образом доказывается, что полный момент (27) также не зависит от способа сглаживания метрики. Доказательство получается более простым, поскольку слагаемое со скалярной кривизной не вносит вклад в полный момент.

ЛИТЕРАТУРА

1. H. Balasin and H. Nachbagauer, Class. Quantum Grav. **10**, 2271 (1993); E-print archives gr-qc/9305009.
2. H. Balasin and H. Nachbagauer, Class. Quantum Grav. **11**, 1451 (1994); E-print archives gr-qc/9312028.
3. R. Arnowitt, S. Deser, and C. Misner, in: *Gravitation: An Introduction to Current Research*, ed. by L. Witten, New York, Wiley (1962); E-print archives gr-qc/0405109.

4. S. S. Xulu, *Astrophys. and Space Sc.* **283**, 23 (2003).
5. B. S. DeWitt, *Dynamical Theory of Groups and Fields*, Gordon and Breach, New York (1965).
6. C. W. Misner, K. S. Thorne, and J. A. Wheeler, *Gravitation*, W. H. Freeman and Co., New York (1973).
7. G. C. Debney, R. P. Kerr, and A. Schild, *J. Math. Phys.* **10**, 1842 (1969).
8. A. Burinskii, E. Elizalde, S. R. Hildebrandt, and G. Magli, *Phys. Rev. D* **65**, 064039 (2002).
9. Л. Д. Ландау, Е. М. Лифшиц, *Теория поля*, Наука, Москва (1988).